

山梨大学工学部 正会員 坂本 康

1. 緒言 固形廃棄物のコンポスト化、汚水の土壤処理など、固-液-気三相混合状態での好気的生物処理については種々の実験がなされている。しかし、それらの研究は三相状態に配慮した実験条件でなされていないため、それぞれの実験材料の特性にとらわれ、普遍的速度論的理解にはいたっていない。本発表はこの現状をふまえ、三相混合状態での好気的反応を統一的速度論的に取り扱うための一助として、水の役割について整理し、そのうち一つの役割については実験法・解析法を例示したものである。

2. 考え方 三相混合状態での生物反応速度を考えるとき、水の持つ意味は大きい。水の役割は主として以下の4つに整理できる。(1)気体の移動を妨げO₂供給量を左右する。(2)生物反応の場 (iii)減圧による粒子内部からの脱水
となる。(3)物質移動の場となる。(4)圧縮性・比熱などの物理的性状に影響する。このうち(1)は水分量の多いとき重要で、水分量と反応速度は負の相関を示す。材料のちがいは、この(1)と(2)の分岐点のちがいとなり、材料毎に異なる最適含水量が観測される。則ち、材料の構造が異なると、同じ水分量でも水の存在する空隙の大きさが異なり、このことが(1)と(2)の分岐点を達えると考えられる。従って、三相混合状態一般を普遍的速度論的に取り扱うためには、実験条件としての水の存在状態を十分把握・記述し、かつ水の役割のうちどれを対象とするかを念頭において研究しなければならない。以下では、上のような立場からの研究の例として、(1)の役割を対象としたものを提示する。

3. モデル 水の役割をわけて考える立場にたてば、各役割について単純なモデルを考えることができる。(1)の場合、気相でのO₂拡散のモデルが適当であろう。則ち、 \propto O₂モル分率 ψ の勾配によりX方向にO₂フラックスNが生まれ、全モル濃度C (4.157×10^{-3} mole/cm³, at 1atm, 20.0°C) のとき、 $N = -\frac{C \cdot D}{1-\psi} \cdot \frac{dy}{dx}$ となる。拡散係数Dは気相率εのとき、 $D/D_0 = \alpha \cdot \epsilon$ (D_0 : ε=1のときの拡散係数、例えばAr-O₂, 1cm²/sec, 20.0°Cでは 0.2 cm²/sec) と表わされ、αとしては(1) 0.66, (2) ε^{1/2} が使われる(文献1)。(3)ある区間でのフラックスの変化は反応によるO₂消費により、それはそこでのψに比例する。面積A、長さdのshellについて $A(N_x - N_{x+dx}) = K \cdot \psi \cdot A \cdot dx$ より $-\frac{dN}{dx} = K \cdot \psi$ となる。ここで単位体積内の反応速度をK_rとしたのは、気-液界面でのO₂移動が律速の場合を想定し、それはO₂分压に比例すると考へるためにある。以上のモデルを使い実験により水分量とK_rとの関係を検討する。

4. 実験法 水の役割を分けて検討するためには、各々の目的に即した水の存在状態で実験しなければならない。(1)を扱う場合には、粒子内空隙は飽和しており、より

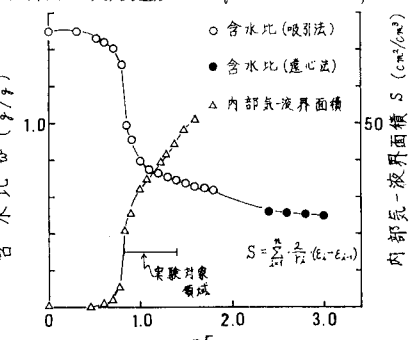
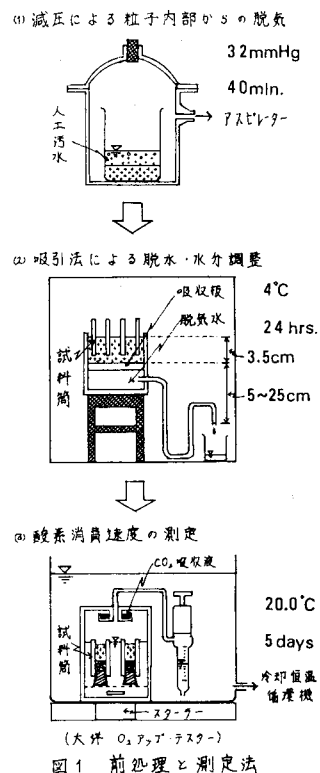
図2 材料のpF-含水比曲線
及び内部気-液界面積S

図1 前処理と測定法

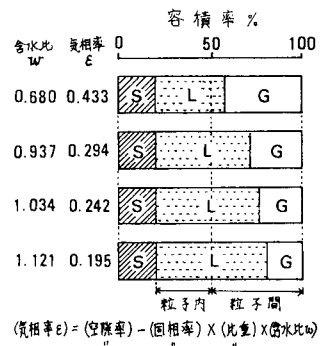


図3 材料の三相分布

大きな粒子間空隙にも水がある状態が適當と考えられる。そのような状態を作るために、図1のような前処理をした。材料は園芸用赤玉土(径0.042~0.084cm,比重2.7,固相率20.0%)に人工汚水(CH_3COONa をTOCで100mg/l+栄養塩+土壤浸出液+蒸留水)を漫み込ませたものを用いた。水分状態を整えるために、まず減圧により粒子内空隙を飽和し、次に吸引法で水分調整した。赤玉土のpF-含水比曲線を図2に示す。これより、実験に用いた含水比0.68~1.12は吸引水頭 δ =5~25cmに相当し、半径 $r=0.03\sim 0.06\text{ cm}$ ($\delta/r=0.149\%$)以上の管で近似される空隙が気相の場合とわかる。各含水比 ϵ での三相分布を計算すると図3となる(図中の粒子内空隙量は粒子一個の重さ、大きさより算出)。これより、(1)の検討にふさわしい水分状態を設定できたといえる。このように、実験条件として図2,3を示せば、他の材料との比較が可能な水分状態の記述といえるだろう。こうして整えた水分状態で O_2 消費量を20.0°Cで測定した。

5. 結果と検討 酸素消費量は図4に示す。汚水量が多い場合(ϵ :少のとき)より少い場合(ϵ :大のとき)の方が反応速度が大きいから、(1)の場合となりた。たといえる。最大酸素消費速度をフラックス N_o になおし、 ϵ に対してプロットしたのが図5の△である。外挿すると N_o が0となるのは $\epsilon=0.17$, $r=0.02$ 程度のときで、これは空隙の管径が最小粒子径とほぼ同じ場合といえる。

拡散方程式は二元一階連立常微分方程式におおし、 $x=0$ のときは0.2093(空気の O_2 モル分率), $(\frac{dy}{dx})_{x=0} = \frac{1-y_0}{C-D}$, N_o の初期条件でルンゲ・クッタ・ジル法により解いた。このとき、混合相の最下部で $N=0$, $\frac{dy}{dx}=0$ とすると、反復法により K が求まる。 K と ϵ の関係は図5の○, ●のようになる。 $\epsilon=\epsilon^*$ のときは線形に近い。混合相内の反応は気-液界面の O_2 移動に律速されたとしたが、今回の実験では、単位体積内の気-液界面の面積 S と K との関係は図6のようになつた。 S はpF-含水比曲線より推算した(図2の△)。則ち、水頭差を Δh_{n-1} が S_{hn} に増したとき新たに半径 r_n の管内の水頭がのぞかれ、その管の内側面積 $\Delta S = 2\pi r_n X \frac{V_n}{\pi r_n^2}$ だけ界面面積が増えると考える。これを全体積でわり、 r_n から S_h までたしかわせると、 $S(\epsilon_n) = \sum_{i=1}^{n-1} \frac{2}{r_i} (\epsilon_i - \epsilon_{i-1}) [\text{cm}^2/\text{cm}^3]$ となる。図6で K が S に比例しないのは、(1)のうち径の小さい管のものは有効でない、(2)水團ごとの O_2 移動が律速となるためと考えられる。 K/S の値は $0.08\sim 0.16 \times 10^{-10} [\text{mole}/\text{cm}^2/\text{sec}]$ で、これは20.0°CでDO Oangleのときの再び O_2 量(文献2の値より算出)の $\frac{1}{10}\sim\frac{1}{20}$ 程度で、飽和DO量の91~96%のときに相当する。

6.まとめ 本報では三相混合状態での好気的生物反応について水の役割を考察し、さらにそれに即した実験法・解析法により気相率 ϵ が小さいときの O_2 消費速度と ϵ との関係、及び内部気-液界面積との関係を検討した。

文献 1) T.J. Marshall: The Diffusion of Gases through Porous Media, J. Soil Sci., Vol. 10, No. 1, 1959.

2) 平山公明:攪拌槽での乱れと酸素移動, 第17回衛生工学研究討論会講演論文集, 1981.

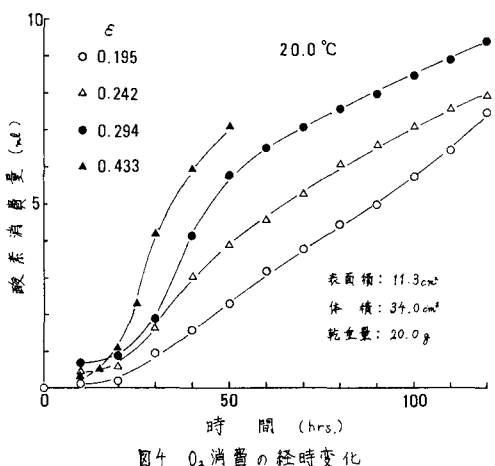


図4 O_2 消費の経時変化

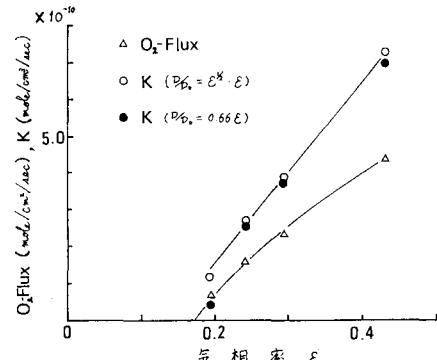


図5 気相率と O_2 フラックス及び反応速度定数 K との関係

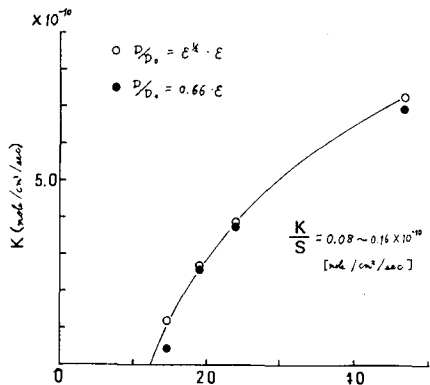


図6 内部気-液界面積 S と反応速度定数 K との関係